

3. ผลการทดสอบและวิจารณ์ผลการทดสอบ

3.1 สมบัติความทนต่อแรงดึงของ ENR

ในขั้นตอนการเตรียม ENR คอมเพาเวอร์ ทำการผสม ENR และสารเคมีในเครื่องบดสองถูกกลึง และทำการขึ้นรูปเพื่อทดสอบสมบัติความทนต่อแรงดึง โดยใช้สภาวะในการขึ้นรูปและการวัดค่าในชุดดังนี้ อุณหภูมิ 170°C ความดัน 350 kg/cm^2 และ เวลา 8 นาที โดยสูตร ENR เมื่องตันแสดงดังตารางที่ 3.1

ตารางที่ 3.1 สูตร ENR เมื่องตัน

Ingredient	Loading (phr)
ENR	100
Stearic acid	2
ZnO	5
DCP	2.5
Co-agent	0, 1, 5

ผลการทดสอบความทนต่อแรงดึงและค่าความเครียด ณ จุดขาดของ ENR แสดงในตารางที่ 3.2 เมื่อพิจารณาผลของการเติมสารร่วมการเชื่อมอย่างชนิด DAP จะเห็นว่าเมื่อเติมปริมาณ DAP เท่ากับ 1 phr ค่าความทนต่อแรงดึง (tensile strength, σ_b) มีค่าใกล้เคียงกับผลของการไม่เติมสารร่วมการเชื่อมโดย แต่ค่าความเครียด ณ จุดขาด (strain at break, ϵ_b) มีค่าสูงขึ้น และเมื่อเพิ่มปริมาณ DAP เท่ากับ 5 phr ค่าความทนต่อแรงดึงเพิ่มขึ้นเล็กน้อยและค่าความเครียด ณ จุดขาด มีค่าลดลง เมื่อเปลี่ยนสารร่วมการเชื่อมอย่างเป็นชนิด SR350 จะเห็นว่าเมื่อเติม SR350 ปริมาณ 1 phr ค่าความทนต่อแรงดึงมีเพิ่มสูงขึ้นเพียงเล็กน้อยและค่าการดึงยืด ณ จุดขาด มีค่าลดลง แต่เมื่อเพิ่มปริมาณ SR350 เป็น 5 phr ค่าความทนต่อแรงดึงมีค่าเพิ่มสูงขึ้นและค่าความเครียด ณ จุดขาด มีค่าลดลง และเมื่อเปลี่ยนสารร่วมการเชื่อมอย่างชนิด SR75 จะเห็นได้ว่าเมื่อเติมปริมาณ SR 75 เท่ากับ 1 phr ค่าความทนต่อแรงดึงลดลงและค่าความเครียด ณ จุดขาดมีค่าลดลง จากที่ไม่เติมสารร่วมการเชื่อมโดย แต่เมื่อเติมปริมาณ SR75 เท่ากับ 5 phr ค่าความทนต่อแรงดึงมีค่าความทนต่อแรงดึงมีค่าสูงขึ้น และค่าความเครียด ณ จุดขาดมีค่าลดลง จากผลของการเติมสารร่วมการเชื่อมอย่างทั้ง 3 ชนิด พบว่าการเติมสารร่วมการเชื่อมอย่างชนิด SR350 ให้ค่าความทนต่อแรงดึงดีที่สุด

ตารางที่ 3.2 สมบัติความทนต่อแรงดึงของ ENR เมื่อใช้ DCP เป็นสารเชื่อมโดย

Co-agent		σ_b (MPa)	ϵ_b (%)
Type	Loading (phr)		
DAP	-	2.58 ± 1.25	610 ± 204
	1	2.56 ± 0.52	634 ± 94
	5	2.99 ± 0.84	464 ± 66
SR350	1	2.69 ± 0.54	531 ± 75
	5	4.60 ± 1.04	276 ± 45
SR75	1	1.62 ± 0.27	497 ± 47
	5	3.16 ± 0.78	297 ± 51

3.2 สมบัติความทันต่อแรงดึงของเทอร์โมพลาสติกอิเล็กทรอนิกส์ที่เตรียมจากไนล่อนชนิด Toray™ CM 1017 ด้วยเครื่องผสมแบบปิด

เตรียมเทอร์โมพลาสติกอิเล็กทรอนิกส์ด้วยเครื่องผสมแบบปิด ตามสูตรที่แสดงในตารางที่ 3.3

ตารางที่ 3.3 สูตรเทอร์โมพลาสติกอิเล็กทรอนิกส์

Ingredient	Loading (phr)
Nylon	50
ENR	50
Stearic acid	2
ZnO	5
Irganox™ B1171	1
Wingstay™ L	1
DCP	2.5
Co-agent	Varied

ผลการทดสอบความทันต่อแรงดึงและค่าความเครียด ณ จุดขาด ของเทอร์โมพลาสติกอิเล็กทรอนิกส์ที่เตรียมจากไนล่อนชนิด Toray™ CM1017 แสดงในตารางที่ 3.4 เมื่อพิจารณาผลของการเติมสารร่วมการเชื่อมโยงชนิด SR350 จะเห็นได้ว่าเมื่อเติม SR350 เท่ากับ 1 phr ค่าความทันต่อแรงดึงมีค่าสูงขึ้น แต่ค่าความเครียด ณ จุดขาด มีค่าเท่ากันกับการไม่เติมสารร่วมการเชื่อมโยง และเมื่อเพิ่มน้ำหนัก SR350 เป็น 10 phr ค่าความทันต่อแรงดึง มีค่าลดลงและค่าความเครียด ณ จุดขาด มีค่าสูงขึ้น เมื่อพิจารณาผลของการเติมสารร่วมการเชื่อมโยงชนิด DAP จะเห็นได้ว่าเมื่อเติมสารร่วมการเชื่อมโยงชนิด DAP เท่ากับ 1 phr ค่าความทันต่อแรงดึงสูงขึ้น และค่าความเครียด ณ จุดขาด มีค่าลดลงจากที่ไม่เติมสารร่วมการเชื่อมโยง และเมื่อทดลองทำการเพิ่มน้ำหนัก DCP เท่ากับ 5 phr ค่าความทันต่อแรงดึงมีค่าลดลง แต่ค่าความเครียด ณ จุดขาด เพิ่มขึ้น

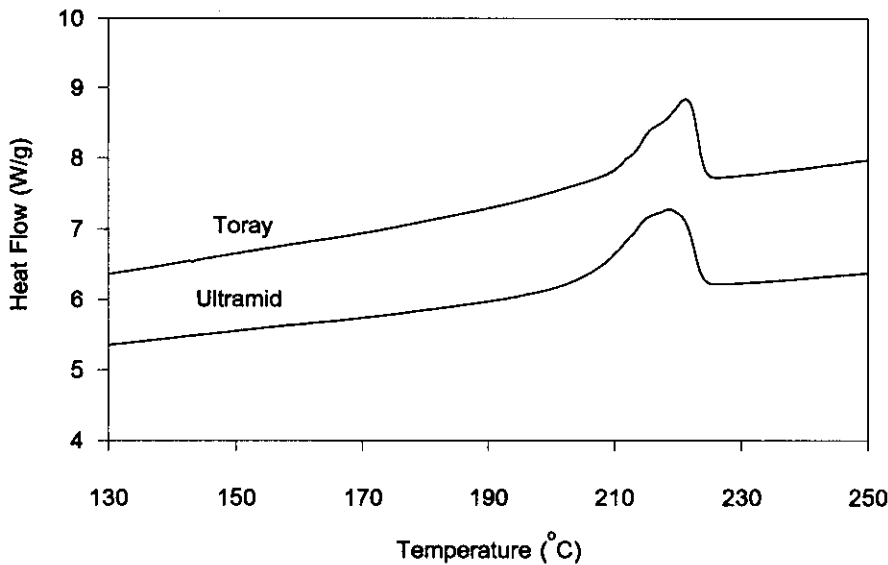
ตารางที่ 3.4 สมบัติความทันต่อแรงดึงของเทอร์โมพลาสติกอิเล็กทรอนิกส์ที่เตรียมจาก Toray™ CM 1017

Co-agent		σ_b (MPa)	ϵ_b (%)
Type	Loading (phr)		
-	-	0.63 ± 0.61	21 ± 9
SR350	1	1.37 ± 0.69	21 ± 10
	10	0.34 ± 0.38	46 ± 13
DAP	1	3.97 ± 2.19	13 ± 6
DAP*	1	0.06 ± 0.01	46 ± 8

* ใช้ DCP ปริมาณ 5 phr

สำหรับการเตรียมเทอร์โมพลาสติกอิเล็กทรอนิกส์ที่เตรียมจากไนล่อนชนิดนี้ ได้ค่าความทันต่อแรงดึงและค่าความเครียด ณ จุดขาด ที่มีค่าต่ำ การที่พอลิเมอร์ชุดนี้แสดงสมบัติเชิงกลด้านนี้ต่ำมาก อาจมีสาเหตุจากการเลือกไนล่อนที่ไม่เหมาะสม เช่นความหนืดไม่เหมาะสม จากการทดลองที่ผ่านมา การซึ่งรูปด้วยการอัดจะมีปัญหาด้านการไหลออกมากจากเบ้าของไนล่อน จึงได้ทำการวัดค่าตัวชี้นีกการไหล (Melt flow index , MI) ของไนล่อนตามมาตรฐาน ASTM D1238 ที่อุณหภูมิ 235°C ด้วยตุ้มน้ำหนัก 2,160 g จะได้ค่า MI เท่ากับ 35 g/10min จึงได้จัดทำ

ในล่อน 6 ที่มีความหนืดสูงขึ้น เพื่อนำมาใช้แทนที่ TorayTM CM1017 จากการตรวจสอบข้อมูลพบว่า Ultramid B36 น่าจะเหมาะสมกว่า จากการวัดค่า MI พบร่วมความหนิดต่ำกว่าในล่อนชนิดแรกมาก คือ มีค่า MI เท่ากับ 5.024 g/10min ทำการตรวจสอบจุดหลอมเหลวของในล่อนหั้งสองชนิดด้วยเทคนิค differential scanning calorimetry ที่ สภาวะการวิเคราะห์ดังนี้ 10 °C/min และ -10 °C – 260 °C ในล่อนหั้งสองชนิดมีจุดหลอมเหลวใกล้เคียงกัน คือ TorayTM CM1017 และ UltramidTM B36 มีอุณหภูมิการหลอมเหลวเท่ากับ 221 °C และ 219 °C ตามลำดับ และดัง ว่านาหันกไม่เลกุลไม่ต่างกันมากนัก เทอร์โมแกรมของในล่อนหั้งสองแสดงในรูปที่ 3.2 แต่รูปร่างไม่เลกุลและการ กระจายของน้ำหนักไม่เลกุลมีความแตกต่างกันจึงทำให้มีความหนิดต่างกัน จากการตรวจสอบข้อมูลที่รายงานโดย บริษัทผู้ผลิต ในล่อนหั้งสองชนิดนี้เป็นเกรดที่อยู่ในกลุ่มเดียวกัน ดังนั้น ดังเด่นที่อไปจะใช้ในล่อนชนิด UltramidTM B36 เท่านั้น



รูปที่ 3.1 DSC thermograms ของในล่อน TorayTM CM1017 และ UltramidTM B36

3.3 สมบัติความหนิดต่อแรงดึงของเทอร์โมพลาสติกอิเล็กทรอนิกส์ที่เตรียมจากในล่อนชนิด UltramidTM B36 ด้วยเครื่องผสมแบบปิด

ทำการเตรียมเทอร์โมพลาสติกอิเล็กทรอนิกส์โดยใช้สูตรนี้ตามตารางที่ 3.3 ไม่มีการเติมสารร่วมการ เชื่อมโยง ทำการทดลอง 3 ชุด คือ ไม่มีการเติม DCP (B50/0) เติม DCP 2.5 phr ด้วยเครื่องบดสองลูกกลิ้ง (B50/2.5/t) และด้วยเครื่องผสมแบบปิด (B50/2.5/b) ผลการทดสอบความหนิดต่อแรงดึงและค่าความเครียด ณ จุด ขาด และคงในตารางที่ 3.5 ชุด B50/2.5/t ให้ค่าหนิดต่อแรงดึงและค่าความเครียด ณ จุดขาด สูงสุดและมีค่าสูงกว่า ค่าที่ได้จากในล่อนชนิด TorayTM CM 1017 ผลการทดลองนี้แสดงให้เห็นว่าจำเป็นต้องเติม DCP และไม่ควรเติมใน เครื่องผสมแบบปิด และในล่อนชนิด UltramidTM B36 ให้สมบัติความหนิดต่อแรงดึงสูงกว่า TorayTM CM 1017 ดังนั้น การทดลองต่อไปจะใช้ในล่อนชนิด UltramidTM B36 และทำการเติม DCP กันย่างคอมปาวด์ด้วยเครื่องบดสอง ลูกกลิ้ง ก่อนที่จะนำไปผสมกับในล่อน มีข้อสังเกตประการหนึ่ง เมื่อผสม DCP กับในล่อนและย่างคอมปาวด์ด้วย เครื่องผสมแบบปิด จะได้พอลิเมอร์ผสมที่มีลักษณะเหนียวเหนอะ คาดว่าอาจจะมีการเสื่อมสภาพของพอลิเมอร์เกิดขึ้น จากการตรวจสอบเอกสารงานวิจัย (Huang และคณะ., 2002) ได้มีการระบุว่าการเตรียมเทอร์โมพลาสติกอิเล็กทรอนิกส์จากในล่อนและยาง EPDM เมื่อใช้ระบบเบอร์โอกไซด์ในเครื่องผสมแบบปิด อาจทำให้เกิดการเสื่อมสภาพของ ในล่อนได้ เพราะฉะนั้นการเตรียมเทอร์โมพลาสติกอิเล็กทรอนิกส์ในการทดลองต่อๆไป จะใช้เครื่องอัดรีดแบบสกรู

ตารางที่ 3.5 สมบัติความทนต่อแรงดึงของเทอร์โมพลาสติกอิเล็กโตรเมอร์

ที่เตรียมจาก Ultramid™ B36 ด้วยเครื่องผสมแบบปิด

Sample	σ_b (MPa)	ϵ_b (%)
B50/0	0.92 ± 0.16	3 ± 9
B50/2.5/t	4.99 ± 0.62	16 ± 5
B50/2.5/b	0.29 ± 0.06	-*

* มีค่าน้อยมากจนเครื่องไม่สามารถบันทึกได้

3.4 สมบัติเชิงกลของเทอร์โมพลาสติกอิเล็กโตรเมอร์ที่เตรียมจากในлонชนิด Ultramid™ B36 ด้วยเครื่องอัดรีดแบบสกรูคู่

3.4.1 สมบัติเชิงกลของเทอร์โมพลาสติกอิเล็กโตรเมอร์ที่ผสม DCP และไม่มีสารร่วมการเชื่อมโยง

ทำการเตรียมเทอร์โมพลาสติกอิเล็กโตรเมอร์โดยใช้สูตรผสมตามตารางที่ 3.3 และไม่มีการเพิ่มสารร่วมการเชื่อมโยง ทำการเตรียมยางคอมปาวด์และผสม DCP (2.5 และ 5 phr) ด้วยเครื่องบดสองสูกกลึงก่อนที่จะนำไปผสมกับในلونในเครื่องอัดรีดแบบสกรูคู่ ทำการทดสอบสมบัติเชิงกลต่างๆ ดังนี้

i) สมบัติความทนต่อแรงดึง

ผลการทดสอบความทนต่อแรงดึงและค่าความเครียด ณ จุดขาด แสดงในตารางที่ 3.6 เทอร์โมพลาสติกอิเล็กโตรเมอร์ที่เตรียมได้นี้มีสมบัติดีขึ้น คือ มีความแข็งแรงมากขึ้นและดึงยืดได้มากขึ้น มีค่าสูงกว่าค่าที่รายงานในตารางที่ 3.4 และ 3.5 สูตรที่ไม่ได้ใส่ DCP (E50/0) จะให้ค่าความเค้นและค่าความเครียด ณ จุดขาด ต่ำกว่าสูตรที่ใส่ DCP พิจารณาสูตร E50/2.5/t กับ E50/5/t จะเห็นว่ามีสัดส่วนของยางเท่ากันแต่มีการเพิ่มปริมาณDCP พบว่า ค่าความเค้นและค่าความเครียด ณ จุดขาด เพิ่มขึ้นเล็กน้อย การเพิ่มปริมาณยางจาก 50 phr เป็น 60 phr จะทำให้สมบัติเชิงกลด้านนี้สูงขึ้น แต่ถ้าเพิ่มยางมากขึ้นเป็น 65 และ 70 phr ค่าเค้นสูงสุดจะลดลงตามปริมาณยางที่เพิ่มขึ้น สูตรที่ให้สมบัติสูงสุดได้แก่ E50/5/t และ E60/2.5/t ค่าความเค้นสูงสุดอยู่ในเกณฑ์ใช้ได้ แต่ค่าความเครียด ณ จุดขาด มีค่าค่อนข้างต่ำ ส่วนสูตร E60/5/t ให้ค่าความเครียด ณ จุดขาด สูงสุด แต่ค่าความเค้นต่ำกว่าสูตรที่มี DCP น้อยกว่า

ตารางที่ 3.6 สมบัติความทนต่อแรงดึงของเทอร์โมพลาสติกอิเล็กโตรเมอร์ที่ใช้ในلونชนิด Ultramid™ B36 และ DCP และไม่มีสารร่วมการเชื่อมโยง เตรียมด้วยเครื่องอัดรีดแบบสกรูคู่

Sample	σ_b (MPa)	ϵ_b (%)
E50/0	8.36 ± 1.35	25 ± 7
E50/2.5/t	13.13 ± 0.79	38 ± 9
E50/5/t	13.61 ± 0.71	45 ± 9
E60/2.5/t	13.67 ± 0.89	44 ± 11
E60/5/t	8.29 ± 0.59	60 ± 10
E65/2.5/t	6.05 ± 0.55	45 ± 8
E70/2.5/t	3.95 ± 0.31	45 ± 10

ผลการทดสอบนี้สนับสนุนสมมติฐานที่ว่า DCP อาจทำให้ในлонเดื่อมสายได้เมื่อทำการผสานด้วยเครื่องผสานแบบปิด คาดว่าเป็นเพราะการใช้เครื่องผสานแบบปิดใช้เวลาในการผสานนานกว่าการผสานด้วยเครื่องอัดรีดแบบสกู๊ป ทำให้ในลอนชึ้งเป็นพอกสิเมอร์ที่มีข้าวจากเกิดการไฮโดรไลซิส และเมื่อมีความร้อนและเบอร์ออกไซด์อยู่ในระบบในเวลาที่นาน ส่งผลให้เกิดการตัดสายโซ่ไม่เลกุลได้

ii) สมบัติความด้านทานต่อการฉีกขาด

ผลการทดสอบความด้านทานต่อการฉีกขาดของเทอร์โมพลาสติกอิเล็กทรอนิกส์ในตารางที่ 3.7 ผลการทดสอบสอดคล้องกับสมบัติความทนต่อแรงดึง สูตรที่ไม่ได้ใส่ DCP จะมีค่าความด้านทานต่อการฉีกขาดต่ำ เมื่อใส่ DCP จะทำให้ได้ค่าความด้านทานต่อการฉีกขาดเพิ่มขึ้น แต่สมบัติจะลดลงเมื่อใส่ DCP มากขึ้น สูตรที่มีการใส่ DCP เท่ากันที่ 2.5 phr และมีการเพิ่มสัดส่วนของยางจาก 50, 60, 65 และ 70% จะมีค่าความด้านทานต่อการฉีกขาดลดลงเมื่อเพิ่มขึ้น สูตรที่ให้ค่าความด้านทานต่อการฉีกขาดสูงสุดคือ E60/2.5/t แต่เป็นที่น่าสังเกตว่า มีค่าความเบี่ยงเบนสูงเช่นกัน

ตารางที่ 3.7 สมบัติความด้านทานต่อการฉีกขาดของเทอร์โมพลาสติกอิเล็กทรอนิกส์ที่ผสม DCP และไม่มีสารร่วมการเชื่อมโยง ในเครื่องอัดรีด

Sample	Tear strength (N/mm)
E50/0	36.77 ± 3.60
E50/2.5/t	61.57 ± 11.50
E50/5/t	51.62 ± 9.41
E60/2.5/t	69.16 ± 14.52
E60/5/t	36.07 ± 2.92
E65/2.5/t	29.72 ± 4.88
E70/2.5/t	23.27 ± 1.83

iii) สมบัติการยึดถาวรและความแข็ง

ผลการทดสอบการยึดถาวรแสดงในตารางที่ 3.8 ค่าการยึดถาวรมีค่าใกล้เคียงกัน และมีแนวโน้มลดลงเมื่อมีปริมาณยางเพิ่มขึ้น

ตารางที่ 3.8 สมบัติการยึดถาวรของเทอร์โมพลาสติกอิเล็กทรอนิกส์ที่ผสม DCP และไม่มีสารร่วมการเชื่อมโยง

Sample	Tension set (%)
E50/5/t	5.73 ± 0.41
E60/2.5/t	5.85 ± 0.41
E60/5/t	4.31 ± 0.66
E65/2.5/t	4.88 ± 1.77
E70/2.5/t	4.48 ± 0.21

iv) ความแข็ง

ผลการทดสอบความแข็งของเทอร์โมพลาสติกอิเล็กโถเมอร์ที่ใช้ DCP เป็นสารเชื่อมโยงและไม่มีสารร่วมการเชื่อมโยง ดังแสดงในตารางที่ 3.9 เมื่อพิจารณาค่าความแข็งของเทอร์โมพลาสติกอิเล็กโถเมอร์ที่ใช้สารเชื่อมโยง และไม่มีสารร่วมการเชื่อมโยงมีค่าใกล้เคียงกัน

ตารางที่ 3.9 ความแข็งของเทอร์โมพลาสติกอิเล็กโถเมอร์
ที่ผสม DCP และไม่มีสารร่วมการเชื่อมโยง

Sample	Hardness Shore A
E50/0	85.60
E50/2.5/t	85.90
E50/5/t	88.60
E60/2.5/t	87.20
E60/5/t	89.80
E65/2.5/t	90.40
E70/2.5/t	82.60

3.4.2 สมบัติเชิงกลของเทอร์โมพลาสติกอิเล็กโถเมอร์ที่ผสม DCP และมีสารร่วมการเชื่อมโยง

ทำการเตรียมเทอร์โมพลาสติกอิเล็กโถเมอร์โดยใช้สูตรผสมตามตารางที่ 3.3 และมีการเติมสารร่วมการเชื่อมโยงชนิดคือ SR350 และ SR75 ในตอนนี้จะมีการเตรียมยางคอมปาวด์ด้วยเครื่องผสมที่แตกต่างกัน ขึ้นอยู่กับชนิดของสารร่วมการเชื่อมโยง ยางคอมปาวด์ที่มี SR350 จะถูกเตรียมด้วยเครื่องบดสองลูกกลิ้ง ส่วนยางคอมปาวด์ที่มี SR75 จะถูกเตรียมด้วยเครื่องผสมแบบบีด การผสม DCP (2.5 และ 5 phr) ในยางซึ่งเป็นสารเคมีที่ใส่ในสัดส่วนที่ต้องการ จะผสมในเครื่องบดสองลูกกลิ้งเหมือนกันทั้งสองประเภท สารร่วมการเชื่อมโยงชนิด SR75 มีขนาดใหญ่ การผสมด้วยเครื่องบดสองลูกกลิ้งทำให้สารเคมีกระจายได้ไม่ดีเท่าที่ควร จึงจำเป็นต้องผสมด้วยเครื่องผสมแบบบีด ในบางกรณีมีการทดลองเติม DCP ในเครื่องอัดรีดแบบสกรูคู่พร้อมกับการผสมในล่อน แต่จำเป็นต้องใช้ DCP ในปริมาณค่อนข้างมาก เพราะมีการสูญเสียระหว่างการผสม จึงทดลองใช้ปริมาณ 5 phr ได้ทำการทดลองเปลี่ยนเกรดของ DCP จาก 40% DCP เป็น 100% DCP ด้วย และมีการทดลองแบบปริมาณสารร่วมการเชื่อมโยง ผลการทดสอบสมบัติเชิงกลสามารถสรุปได้ดังนี้

i) สมบัติความทนต่อแรงดึง

ผลการทดสอบความทนต่อแรงดึงของเทอร์โมพลาสติกอิเล็กโถเมอร์ที่มีสารร่วมการเชื่อมโยงชนิด SR350 แสดงในตารางที่ 3.10 การใส่ DCP ในเครื่องบดสองลูกกลิ้งดีกว่าการใส่ในเครื่องอัดรีดสกรูคู่ (เปรียบเทียบ E50/2.5/t/350-1t กับ E50/2.5/e/350-1t และ E50/5/t/350-1t กับ E50/5/e/350-1t) ที่เป็นชิ้นน้ำอาจเนื่องมาจากเวลาในการผสมที่แตกต่างกันมากระหว่างเครื่องผสมทั้งสองชนิดนี้ เครื่องอัดรีดแบบสกรูคู่มีระยะเวลาในการผสมตั้นมาก (นาทีครึ่ง) ในขณะที่การผสม DCP ในยางคอมปาวด์ด้วยเครื่องบดสองลูกกลิ้งจะใช้เวลานานกว่า (4 นาที) พิจารณาสูตร E50/2.5/t/350-1t กับ E50/2.5/e/350-2t จะเห็นว่าใส่สารเชื่อมโยงเท่ากันแต่มีการเพิ่มปริมาณสารร่วมการเชื่อมโยง ค่าความทนต่อแรงดึงลดลงเล็กน้อย แต่ค่าความเครียด ณ จุดขาด เพิ่มขึ้น พิจารณาสูตร E50/2.5/t/350-1t กับ E50/5/t/350-1t จะเห็นว่าใส่สารร่วมการเชื่อมโยงเท่ากันแต่ปริมาณสารเชื่อมโยงเพิ่มขึ้น ค่าความทนต่อแรงดึง

และค่าความเครียด ณ จุดขาด เพิ่มขึ้น การเพิ่มปริมาณยางทำให้สมบัติความทนต่อแรงดึงลดลง สูตรที่ดีที่สุดคือ E50/5/t/350-1t ให้ค่าความเครียดสูงสุดเท่ากับ 15.17 MPa และค่าความเครียด ณ จุดขาด เท่ากับ 85 %

ตารางที่ 3.10 สมบัติความทนต่อแรงดึงของเทอร์โมพลาสติกอิเล็กโตร์ที่ผสม DCP และ SR350

Sample	σ_b (MPa)	ϵ_b (%)
E50/2.5/t/350-1t	14.24 \pm 1.11	31 \pm 5
E50/2.5/e/350-1t	12.37 \pm 0.91	40 \pm 8
E50/2.5/t/350-2t	12.53 \pm 0.94	41 \pm 11
E60/2.5/t/350-2t	7.61 \pm 0.75	42 \pm 8
E50/5/t/350-1t	15.17 \pm 1.29	85 \pm 17
E50/5/e/350-1t	13.25 \pm 0.44	51 \pm 17
E60/5/t/350-1t	9.04 \pm 0.33	55 \pm 6

ผลการทดสอบความทนต่อแรงดึงของเทอร์โมพลาสติกอิเล็กโตร์ที่ใช้ DCP เป็นสารเชื่อมโยงและมีการร่วมการเชื่อมโยงชนิด SR75 แสดงในตารางที่ 3.11 เมื่อพิจารณาสูตรที่ใส่สารเชื่อมโยง (DCP) และใส่สารร่วมการเชื่อมโยงเท่ากัน การใส่สารร่วมการเชื่อมโยงในเครื่องผสมแบบปิด ให้ค่าความทนต่อแรงดึงและค่าความเครียด ณ จุดขาด สูงกว่าการใส่ในเครื่องบดสองลูกกลิ้ง และเมื่อเพิ่มปริมาณสารร่วมการเชื่อมโยงมากขึ้นโดยใส่ในเครื่องผสมแบบปิดจะทำให้ค่าความทนต่อแรงดึงและค่าความเครียด ณ จุดขาด เพิ่มขึ้นเข้ากัน พิจารณาสูตร E50/2.5/t/75-3b กับ E50/5/t/75-3b เมื่อเพิ่มปริมาณสารเชื่อมโยงจะทำให้ค่าความทนต่อแรงดึงและค่าความเครียด ณ จุดขาด ลดลง เมื่อพิจารณาสูตร E50/2.5/t/75-3b กับ E50/1/t/75-3b จะเห็นว่าการใช้ DCP ชนิด 40% DCP ปริมาณ 2.5 phr ให้ค่าความทนต่อแรงดึงและค่าความเครียด ณ จุดขาด ต่ำกว่าการใช้ 100% DCP ปริมาณ 1 phr และเมื่อพิจารณาสูตร E50/1/t/75-3b กับ E60/1/t/75-3b เมื่อปริมาณยาง ENR50 เพิ่มขึ้นทำให้ค่าความทนต่อแรงดึงลดลงแต่ค่าความเครียด ณ จุดขาด เพิ่มขึ้น สูตรที่ดีที่สุดคือ E50/2.5/t/75-3b

ตารางที่ 3.11 สมบัติความทนต่อแรงดึงของเทอร์โมพลาสติกอิเล็กโตร์ที่ผสม DCP และ SR75

Sample	σ_b (MPa)	ϵ_b (%)
E50/2.5/t/75-1t	13.54 \pm 1.68	44 \pm 12
E50/2.5/t/75-1b	14.78 \pm 1.32	58 \pm 15
E50/2.5/t/75-3b	15.23 \pm 1.01	61 \pm 9
E50/5/t/75-3b	15.08 \pm 1.17	52 \pm 14
E50/1/t/75-3b	9.98 \pm 0.86	44 \pm 9
E60/1/t/75-3b	7.69 \pm 0.48	92 \pm 15

* 1 phr of 100% DCP

ผลการเปรียบเทียบอัตราผลของการร่วมการเชื่อมโยงแสดงในตารางที่ 3.12 จะเห็นว่าสารร่วมการเชื่อมโยงทั้งสองชนิดช่วยเพิ่มสมบัติความทนต่อแรงดึง

ตารางที่ 3.12 ผลของสารร่วมการเชื่อมโยงที่มีต่อสมบัติความทานต่อแรงดึงของเทอร์โมพลาสติกอิเล็กโถเมอร์ที่ผสม DCP

Sample	σ_b (MPa)	ϵ_b (%)
E50/2.5/t	13.13 \pm 0.79	38 \pm 9
E50/2.5/t/350-1t	14.24 \pm 1.11	31 \pm 5
E50/2.5/t/75-1b	14.78 \pm 1.32	58 \pm 15
E50/5/t	13.61 \pm 0.71	45 \pm 9
E50/5/t/350-1t	15.17 \pm 1.29	85 \pm 17

ii) สมบัติความต้านทานต่อการฉีกขาด

ผลการทดสอบความต้านทานต่อการฉีกขาดของเทอร์โมพลาสติกอิเล็กโถเมอร์ที่ผสม DCP และ SR350 แสดงในตารางที่ 3.13 การเติม SR350 ทำให้ความต้านทานต่อการฉีกขาดลดลงตามปริมาณของ SR350 ที่เติมเข้าไปในกราฟที่มี DCP 2.5 phr ถ้าเพิ่มปริมาณ DCP เป็น 5 phr พบว่าการเติม SR350 ทำให้ความต้านทานต่อการฉีกขาดเพิ่มขึ้น ความต้านทานการฉีกขาดขึ้นอยู่กับคุณภาพและปริมาณการเชื่อมโยงโมเลกุลของยาง ลักษณะการเชื่อมโยงโมเลกุลของยางอาจมีความแตกต่างกันระหว่างการมีและไม่มี SR350 รวมทั้งยังเกี่ยวข้องกับปริมาณสารเชื่อมโยงด้วย ดังนั้น การเลือกสูตรที่เหมาะสมจะต้องคำนึงถึงปัจจัยหลายด้าน โดยเฉพาะสมบัติที่ต้องการ ผลการทดสอบความต้านทานต่อการฉีกขาดของเทอร์โมพลาสติกอิเล็กโถเมอร์ที่ผสม DCP และ SR75 แสดงในตารางที่ 3.14 สารร่วมการเชื่อมโยงชนิดนี้ให้ผลตรงข้ามกับ SR350 คือมีแนวโน้มว่าการเติม SR75 ทำให้สมบัติความต้านทานต่อการฉีกขาดของเทอร์โมพลาสติกอิเล็กโถเมอร์สูงขึ้นและสูงขึ้นตามปริมาณ SR75 ที่เติมเข้าไป การผสม SR75 ด้วยเครื่องผสมแบบปิดให้สมบัติสูงกว่าการผสมด้วยเครื่องบดสองลูกกลิ้ง และ DCP ชนิด 40% ยังคงแสดงค่าความต้านทานต่อการฉีกขาดสูงกว่าชนิด 100% อย่างไรก็ตามควรระหนักว่า ผลการทดสอบเบรียบเทียบสมบัติเชิงกลที่ใช้ DCP ส่องชนิดนี้ ได้มาจากการตัวอย่างที่ผสมในแบบเดียวกัน

ตารางที่ 3.13 สมบัติความต้านทานต่อการฉีกขาดของเทอร์โมพลาสติกอิเล็กโถเมอร์ที่ผสม DCP และ SR350 เปรียบเทียบกับสูตรที่ไม่เติม SR350

Sample	Tear Strength (N/mm)	
	Sample with SR350	Sample without SR350
E50/2.5/t/350-1t	60.71 \pm 9.72	61.57 ± 11.50
E50/2.5/e/350-1t	48.91 \pm 3.39	
E50/2.5/t/350-2t	49.32 \pm 7.53	
E60/2.5/t/350-2t	33.10 \pm 4.95	69.16 \pm 14.52
E50/5/t/350-1t	61.45 \pm 5.23	51.62 ± 9.41
E50/5/e/350-1t	51.59 \pm 4.58	
E60/5/t/350-1t	39.38 \pm 3.41	36.07 \pm 2.92

ตารางที่ 3.14 สมบัติความด้านทานต่อการฉีกขาดของเทอร์โมพลาสติกอิเล็กโถเมอร์ที่ผสม DCP และ SR75

Sample	Tear Strength (N/mm)
E50/2.5/t/75-1t	62.10 \pm 4.85
E50/2.5/t/75-1b	58.77 \pm 5.57
E50/2.5/t/75-3b	61.34 \pm 10.99
E50/5/t/75-3b	73.52 \pm 6.92
E50/1 * /t/75-3b	52.12 \pm 8.70
E60/1 * /t/75-3b	42.92 \pm 4.49

* 1 phr of 100% DCP

iii) สมบัติการยึดถาวร

ผลการทดสอบการยึดถาวรของเทอร์โมพลาสติกอิเล็กโถเมอร์ที่ใช้ DCP เป็นสารเชื่อมโยงและมีสารร่วมการเชื่อมโยงชนิด SR350 และ SR75 แสดงดังตารางที่ 3.15 และ 3.16 ตามลำดับ ทุกสูตรมีค่าไกลส์เคียงกันและมีค่าอยู่ในช่วงเดียวกันกับสูตรที่ไม่มีการเพิ่มสารร่วมการเชื่อมโยง (4 – 6 %)

ตารางที่ 3.15 สมบัติการยึดถาวรของเทอร์โมพลาสติกอิเล็กโถเมอร์ที่ผสม DCP และ SR350

Sample	Tension set (%)
E50/2.5/t/350-1t	5.65 \pm 0.23
E50/2.5/e/350-1t	5.46 \pm 0.33
E50/2.5/t/350-2t	5.16 \pm 0.27
E60/2.5/t/350-2t	4.57 \pm 0.31
E50/5/t/350-1t	5.07 \pm 0.28
E50/5/e/350-1t	4.87 \pm 0.61
E60/5/t/350-1t	3.80 \pm 0.79

ตารางที่ 3.16 สมบัติการยึดถาวรของเทอร์โมพลาสติกอิเล็กโถเมอร์ที่ผสม DCP และ SR75

Sample	Tension set (%)
E50/2.5/t/75-1t	5.24 \pm 0.45
E50/2.5/t/75-1b	5.29 \pm 0.26
E50/2.5/t/75-3b	5.41 \pm 0.29
E50/5/t/75-3b	4.85 \pm 0.60
E50/1 * /t/75-3b	5.49 \pm 0.32
E60/1 * /t/75-3b	4.35 \pm 0.26

* 1 phr of 100% DCP

IV) ความแข็ง

ความแข็งของเทอร์โมพลาสติกอิเล็กโตเมอร์ที่ใช้ DCP เป็นสารเรื่อมโยงและมีสารร่วมการเรื่อมโยงชนิด SR350 และ SR75 แสดงดังตารางที่ 3.17 และ 3.18 ตามลำดับ ทุกสูตรมีค่าไกล์เดียงกันและมีค่าอยู่ในช่วงเดียวกันกับสูตรที่ไม่มีการเติมสารร่วมการเรื่อมโยงดังแสดงในตารางที่ 3.9 ความแข็งของเทอร์โมพลาสติกอิเล็กโตเมอร์ที่เตรียมได้อยู่ในช่วง 85 – 95 Shore A

ตารางที่ 3.17 ความแข็งของเทอร์โมพลาสติกอิเล็กโตเมอร์ที่ผสม DCP และ SR350

Sample	Hardness Shore A
E50/2.5/t/350-1t	95.90
E50/2.5/e/350-1t	91.40
E50/2.5/t/350-2t	94.00
E60/2.5/t/350-2t	85.40
E50/5/t/350-1t	92.30
E50/5/b/350-1t	90.20
E60/5/t/350-1t	87.40

ตารางที่ 3.18 ความแข็งของเทอร์โมพลาสติกอิเล็กโตเมอร์ที่ผสม DCP และ SR75

Sample	Hardness Shore A
E50/2.5/t/75-1t	92.00
E50/2.5/t/75-1b	91.20
E50/2.5/t/75-3b	90.00
E50/5/t/75-3b	91.40
E50/1/t/75-3b	91.00
E60/1/t/75-3b	89.80

* 1 phr of 100% DCP

จากการทดลองที่ผ่านมาได้ใช้ DCP เป็นสารเรื่อมโยง ได้มีการปรับปรุงกระบวนการผสมและปรับปรุงสูตรเพื่อให้เทอร์โมพลาสติกอิเล็กโตเมอร์ที่มีสมบัติความทนต่อแรงดึงสูงขึ้น พบว่าการผสมยางและไนลอนควรกระทำด้วยเครื่องอัดรีด ซึ่งให้ผลดีกว่าการผสมด้วยเครื่องผสมแบบปีด เนื่องจากระยะเวลาในการผสมด้วยเครื่องอัดรีดสั้นกว่า ทำให้โอกาสที่ไนลอนจะเสื่อมสภาพมีน้อยลง การผสม DCP ในยางคอมปาวด์ก่อนนำไปผสมกับไนลอน ยังคงทำให้เกิดลักษณะเทอร์โมพลาสติกอิเล็กโตเมอร์ได้ คือ ยางเป็นเฟสกระจายและไนลอนเป็นเฟสต่อเนื่อง ทั้งนี้ เพราะการผสม DCP ในเครื่องบดสองลูกกลิ้งนั้นยังไม่มีการวัลภาชนะที่เกิดขึ้น เนื่องจากอุณหภูมิในการผสมต่ำประมาณ 50°C การปรับปรุงสูตรยางคอมปาวด์ควรมีการเติมสารร่วมการเรื่อมโยงและ SR75 ให้สมบัติเชิงกลดีกว่า SR350 ถึงแม้ว่าจะสามารถปรับปรุงสมบัติความทนต่อแรงดึงให้สูงได้มากคือ $\sigma_u = 15.17 \text{ MPa}$ และ $\epsilon_b = 85\%$ แต่คิดว่าค่าความเค้น ณ จุดขาด ยังต่ำกว่า 100% น่าจะมีการปรับปรุงค่านี้ให้เพิ่มสูงขึ้นโดยมีการเปลี่ยนชนิดของสารเรื่อมโยง ดังนั้น การทดลองต่อไปจะมีการใช้ฟินอลริกเรชันเป็นสารเรื่อมโยง

3.4.3 สมบัติเชิงกลของเทอร์โมพลาสติกอิเล็กโตรเมอร์ที่ผสมฟีนอลลิกเรชินและไม่มีสารร่วมการเชื่อมโยง
ยางคอมปาวด์ที่ผสมด้วยพีโนลลิกเรชินนี้ จะเตรียมด้วยเครื่องผสมแบบปิด ทำการเตรียมเทอร์โมพลาสติกอิเล็กโตรเมอร์ตามสูตรผสมในตารางที่ 3.3 โดยใช้ฟีนอลลิกเรชินแทนที่ DCP

i) สมบัติความหนาแน่น

ผลการทดสอบความหนาแน่นต่อแรงดึงของสูตรที่ใช้ฟีนอลลิกเรชินเป็นสารเชื่อมโยงและไม่มีสารร่วมการเชื่อมโยง แสดงในตารางที่ 3.19 จะเห็นว่าการใช้ฟีนอลลิกเรชินทำให้สมบัติความหนาแน่นต่อแรงดึงสูงกว่าการใช้ DCP (เปรียบเทียบกับตารางที่ 3.12) การเพิ่มปริมาณฟีนอลลิกเรชินทำให้สมบัติสูงขึ้น การเพิ่มยางทำให้ค่าความหนาแน่นต่อแรงดึงลดลงแต่ความเครียด ณ จุดขาด สูงขึ้น สูตรที่ให้ค่าความหนาแน่นต่อแรงดึงสูงสุดคือ E50/ph-8b และสูตรที่ให้ความหนาแน่นต่อการดึงสูงมากที่สุดคือ E60/ph-6b การใช้ฟีนอลลิกเรชินสามารถเพิ่มค่าความเครียด ณ จุดขาด ได้เกิน 100%

ตารางที่ 3.19 สมบัติเชิงกลของเทอร์โมพลาสติกอิเล็กโตรเมอร์ที่ผสมฟีนอลลิกเรชินและไม่มีสารร่วมการเชื่อมโยง

Sample	σ_b (MPa)	ϵ_b (%)	Tear strength (N/mm)	Tension set (%)	Hardness Shore A
E50/ph-6b	17.82 ± 0.84	80 ± 16	99.09 ± 16.08	5.89 ± 0.58	89.70
E50/ph-8b	17.96 ± 0.90	107 ± 16	95.97 ± 9.07	4.63 ± 0.39	95.10
E60/ph-6b	13.41 ± 0.56	150 ± 20	70.19 ± 11.42	4.46 ± 0.41	94.30

ii) สมบัติความด้านทานต่อการฉีกขาด การยืดคลาย และความแข็ง

ผลการทดสอบความด้านทานต่อการฉีกขาด การยืดคลาย และความแข็ง แสดงในตารางที่ 3.19 ฟีนอลลิกเรชินเพิ่มความด้านทานต่อการฉีกขาดอย่างเห็นได้ชัด ค่าความด้านทานเพิ่มสูงขึ้นถึง 99 N/mm ในขณะที่การใช้ DCP จะให้ค่าความด้านทานสูงสุดเท่ากับ 69 N/mm และ 74 N/mm ในดัวอย่างที่ไม่มีและมีสารร่วมการเชื่อมโยง ตามลำดับ (ตารางที่ 3.13 และ 3.14) การเพิ่มฟีนอลลิกเรชินมีแนวโน้มลดค่าความด้านทานต่อการฉีกขาด ตัวอย่างที่มียางเพิ่มเขียนยังคงแสดงสมบัติต่างๆ อย่างที่มียางน้อยกว่า สมบัติการยืดคลายและความแข็งยังคงอยู่ในช่วงเดียวกันกับสูตรที่ใช้ DCP เป็นสารเชื่อมโยงทั้งที่มีและไม่มีสารร่วมการเชื่อมโยง

3.4.4 สมบัติเชิงกลของเทอร์โมพลาสติกอิเล็กโตรเมอร์ที่ผสมฟีนอลลิกเรชินและมีสารร่วมการเชื่อมโยง

ทำการเตรียมยางคอมปาวด์และเทอร์โมพลาสติกอิเล็กโตรเมอร์ในรูปแบบเดียวกันกับหัวข้อ 3.4.3 และได้เพิ่มการทดลองผสมฟีนอลลิกเรชินด้วยเครื่องบดสองสูกอกลึงเพื่อเบรเยนเทียบกับการผสมด้วยเครื่องผสมแบบปิด สารเชื่อมโยงที่ใช้ได้แก่ SR75 และเติมในปริมาณ 3 phr เนื่องจากให้สมบัติเชิงกลโดยรวมดีกว่า SR350

i) สมบัติความหนาแน่นต่อแรงดึง

ผลการทดสอบความหนาแน่นต่อแรงดึงแสดงในตารางที่ 3.20 การเติม SR75 มีแนวโน้มเพิ่มสมบัติความหนาแน่น (ตารางที่ 3.19 ประกอบ) พิจารณาสูตรที่มียาง 50 phr ค่าความหนาแน่นต่อแรงดึงเพิ่มขึ้นตามปริมาณ SR75 ในขณะที่ค่าความเครียด ณ จุดขาด เพิ่มขึ้นเพียงเล็กน้อย การใช้ฟีนอลลิกเรชินและ SR75 ร่วมกันทำให้ค่า σ_b และ ϵ_b สูงขึ้นเป็น 21.66 MPa และ 119 % ตามลำดับ มีค่าสูงกว่าการใช้ DCP และ SR75 ร่วมกัน ซึ่งให้ค่า σ_b และ ϵ_b สูงสุดเท่ากับ 15.17 MPa และ 85 % ตามลำดับ (จากตารางที่ 3.12) การใช้ยางเพิ่มขึ้นจะทำให้ σ_b ลดลง แต่ค่า ϵ_b เพิ่มขึ้น ความเครียดสูงสุดที่ปรากฏเท่ากับ 150 % จะเห็นว่าการใช้ฟีนอลลิกเรชินและ SR75 ช่วยปรับปรุงสมบัติ

ความทันต่อแรงดึงได้มากและแสดงค่าสูงกว่าการใช้ DCP โดยเฉพาะค่าการยึดก่อนขาดจะมีความแตกต่างกันมากระหว่างสารเชื่อมโยงสองชนิดนี้ สูตรต่างๆที่แสดงในตารางที่ 3.20 ให้สมบัติความทันต่อแรงดึงดี การผสมพีนอลิคลิเรชันด้วยเครื่องบดสองถูกกลั้งมีแนวโน้มให้ค่าสมบัติความทันต่อแรงดึงสูงกว่าการผสมด้วยเครื่องผสมแบบบีด

พิจารณาสมบัติความทันต่อแรงดึงของเทอร์โมพลาสติกอิเล็กโตร์ที่ได้จากการวิจัยนี้ เช่น สูตร E50/ph-8/t/75-3b มีค่า σ_b และ ϵ_b สูงกว่าเทอร์โมพลาสติกอิเล็กโตร์ที่รายงานในเอกสารอื่นๆ เช่น ในลอน 6/EPDM (50/50 wt%) σ_b เท่ากับ 8 MPa และ ϵ_b เท่ากับ 10% แต่ถ้าผสมในลอนกับ EPDM-g-MA สมบัติจะสูงขึ้น คือ σ_b เท่ากับ 35 MPa และ ϵ_b เท่ากับ 200% (Oderkerk และ Groeninckx) สมบัติที่ค่อนข้างต่ำนี้ยังพบในการผสมในลอน 6 กับ EPR-g-MA (40/60 wt%) โดยที่ σ_b เท่ากับ 6.23 MPa และ ϵ_b เท่ากับ 30% (Okada และคณะ, 1999) การเพิ่มปริมาณในลอนเป็น 50% ทำให้เทอร์โมพลาสติกอิเล็กโตร์ชุดนี้มีสมบัติขึ้น คือ σ_b เท่ากับ 22.7 MPa และ ϵ_b เท่ากับ 190% (Okada และคณะ, 2001) ในรายงานชุดนี้ยังระบุว่าการใช้ H-EPR-g-MA (Exxelor™ 1801) แทนที่ EPR-g-MA จะทำให้ค่า σ_b เท่ากับ 31.3 MPa และ ϵ_b เท่ากับ 230% Jha และ Bhowmick ได้รายงานสมบัติความทันต่อแรงดึงของในลอน 6 ผสมกับยางอะคริเลท (acrylate rubber) โดยมีในลอน 40 wt% ดังนี้ σ_b เท่ากับ 10.5 MPa และ ϵ_b เท่ากับ 120% เมื่อทำการเบรย์นเทียนกับผลการทดสอบจากงานวิจัยอื่นๆ สามารถสรุปได้ว่าผลการทดสอบที่ได้รับอยู่ในเกณฑ์ที่น่าพึงพอใจระดับหนึ่ง เพราะสามารถให้สมบัติที่ไม่ด้อยกว่างานวิจัยอื่นๆ แต่ความสามารถปรับปรุงให้มีสมบัติขึ้น เช่น น่าจะมีการทำให้เกิดปฏิกิริยาเชื่อมโยงระหว่างในลอนและยาง โดยการกราฟฟิค (grafting reaction) ซึ่งอาจจะใช้มาเลอิกแวนไอกัดร่วมด้วย

ตารางที่ 3.20 สมบัติเชิงกลของเทอร์โมพลาสติกอิเล็กโตร์ที่ผสมพีนอลิคลิเรชันและ SR75

Sample	σ_b (MPa)	ϵ_b (%)	Tear Strength (N/mm)	Tension set (%)	Hardness Shore A
E50/ph-6b/75-3b	14.68 \pm 1.09	107 \pm 21	117.33 \pm 9.60	5.52 \pm 0.95	90.40
E50/ph-6t/75-3b	18.76 \pm 1.88	110 \pm 33	141.22 \pm 7.48	4.64 \pm 0.44	91.21
E50/ph-8b/75-3b	21.33 \pm 1.16	119 \pm 19	109.33 \pm 13.84	6.30 \pm 0.74	95.00
E50/ph-8t/75-3b	21.66 \pm 1.31	119 \pm 28	99.53 \pm 34.75	4.95 \pm 0.56	94.80
E60/ph-6b/75-3b	13.11 \pm 0.83	138 \pm 32	107.68 \pm 5.15	4.08 \pm 1.10	94.00
E60/ph-6t/75-3b	14.74 \pm 1.01	150 \pm 29	117.77 \pm 9.47	4.49 \pm 0.51	94.40
E60/ph-8b/75-3b	13.22 \pm 1.25	108 \pm 29	89.20 \pm 4.82	5.02 \pm 0.40	89.50
E60/ph-8t/75-3b	15.71 \pm 1.28	147 \pm 36	80.01 \pm 14.77	5.03 \pm 0.61	88.00

ii) สมบัติความด้านทานต่อการฉีกขาด การยึดกาว และความแข็ง

สมบัติความด้านทานต่อการฉีกขาด การยึดกาว และความแข็งแสดงในตารางที่ 3.20 การเติม SR75 เพิ่มสมบัติความด้านทานต่อการฉีกขาดและให้ค่าที่สูงกว่า 100 N/mm ในขณะที่การใช้ DCP และ SR75 จะให้ความด้านทานสูงสุดเท่ากับ 73.52 N/mm จากสูตร E50/5/t/75-3b (ดูตารางที่ 3.13 และ 3.14 ประกอบ) ส่วนสมบัติการยึดกาวและความแข็งยังคงอยู่ในช่วงเดียวกันกับสูตรอื่นๆ

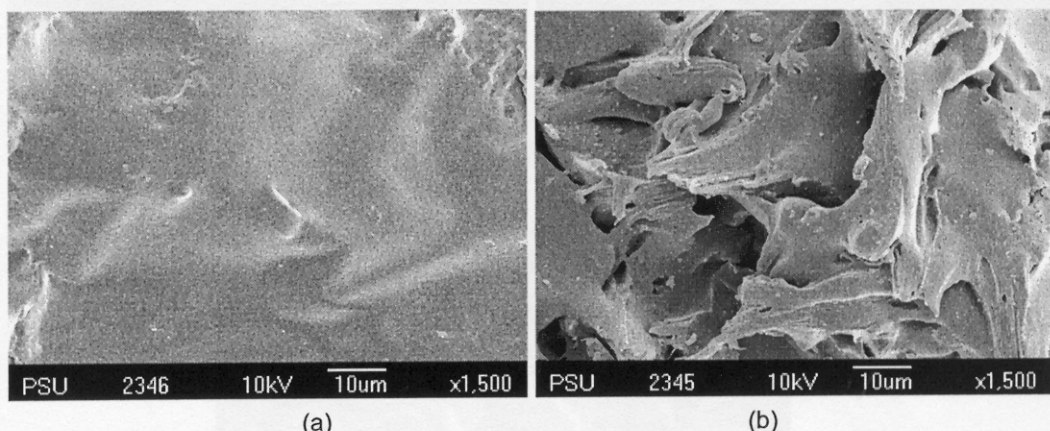
จะเห็นได้ว่าการเตรียมเทอร์โมพลาสติกอิเล็กโตร์จากในลอนและยางธรรมชาติอพอกซีไดร์ฟ์ ควรใช้พีนอลิคลิเรชันเป็นสารเชื่อมโยงและสารร่วมการเชื่อมโยง ในกรณีที่ศึกษานี้ Saret™ SR75 EPM2M ให้สมบัติเชิงกล

ดีกว่า SaretTM SR350 การเลือกสูตรที่เหมาะสมจะต้องพิจารณาจากสมบัติเชิงกลและสมบัติทางพิสิกส์อีกด้วย ต้องการ เนื่องจากโครงงานวิจัยนี้มีระยะเวลาการทำวิจัยเพียง 6 เดือน ประกอบกับการมีปัญหาเรื่องเครื่องมือชำรุดระหว่างการวิจัย ทำให้ไม่สามารถทดสอบสมบัติอื่นๆเพิ่มเติมได้ อย่างไรก็ตาม ผลการทดลองเป็นที่น่าพอใจในแต่ละการทดสอบสามารถพัฒนาสูตรใหม่มีสมบัติเชิงกลที่ดีเท่าเทียมผลการทดลองจากการวิจัยอื่นๆ

3.5 ผลการวิเคราะห์สัณฐานวิทยาด้วยเครื่อง SEM และ DMTA

3.5.1 ผลการวิเคราะห์ด้วยเครื่อง SEM

การวิเคราะห์ด้วยเทคนิค SEM เป็นการวิเคราะห์ลักษณะทางสัณฐานวิทยาของเทอร์โมพลาสติกอิเล็กซ์โตเมอร์ รูปที่ 3.2 แสดงลักษณะสัณฐานวิทยาของเทอร์โมพลาสติกอิเล็กซ์โตเมอร์ สูตร E50/5/t/350-1t แข็งตัวอย่างในในโตรเจนเหลวเป็นเวลาครึ่งชั่วโมงแล้วทำการหักตัวอย่างอย่างรวดเร็ว และนำตัวอย่างที่ได้ผ่านการทดสอบสมบัติความทนต่อแรงดึง โดยใช้ผิวน้ำแข็งไว้รองหักของชิ้นทดสอบ มาตรวจสอบด้วยเครื่อง SEM ไม่ทำการสกัดเพลสของพลาสติกออกไปทั้งสองตัวอย่าง เห็นได้ว่ารูป 3.2a ซึ่งเป็นตัวอย่างที่ทำการหักด้วยในโตรเจนเหลวนั้น ลักษณะพื้นผิวมีลักษณะเรียบเหมือนเป็นเนื้อดียวกัน ไม่สามารถแยกเพลสของยางและในลอนได้ แสดงให้เห็นว่า เทอร์โมพลาสติกอิเล็กซ์โตเมอร์น่าจะเข้ากันได้ดี เนื่องจากพอลิเมอร์ทั้งสองชนิดต่างก็มีความเป็นข้าว ทำให้แรงดึงผิวระหว่างเพลสสองเพลสมีค่าต่ำและแรงยึดติดระหว่างเพลสมีค่าสูง (Morton, 1987) ดังนั้นมีผลสมพอลิเมอร์สองชนิดเข้าด้วยกัน พอลิเมอร์ผสมน่าจะมีความเข้ากันได้ดี รูปที่ 3.2b เป็นตัวอย่างผิวน้ำแข็งบริเวณรอยหักของชิ้นทดสอบที่ผ่านการทดสอบสมบัติความทนต่อแรงดึง ซึ่งเห็นได้ว่ามีลักษณะผิวขรุขระ แต่ก้มองดูเป็นเพียงเพลสเดียว เพราะความมีข้าวของพอลิเมอร์ทั้งสองชนิดจึงทำให้มีความเข้ากันได้ และลักษณะที่มีผิวขรุขระเกิดมาจากผลของการดึงชิ้นทดสอบ

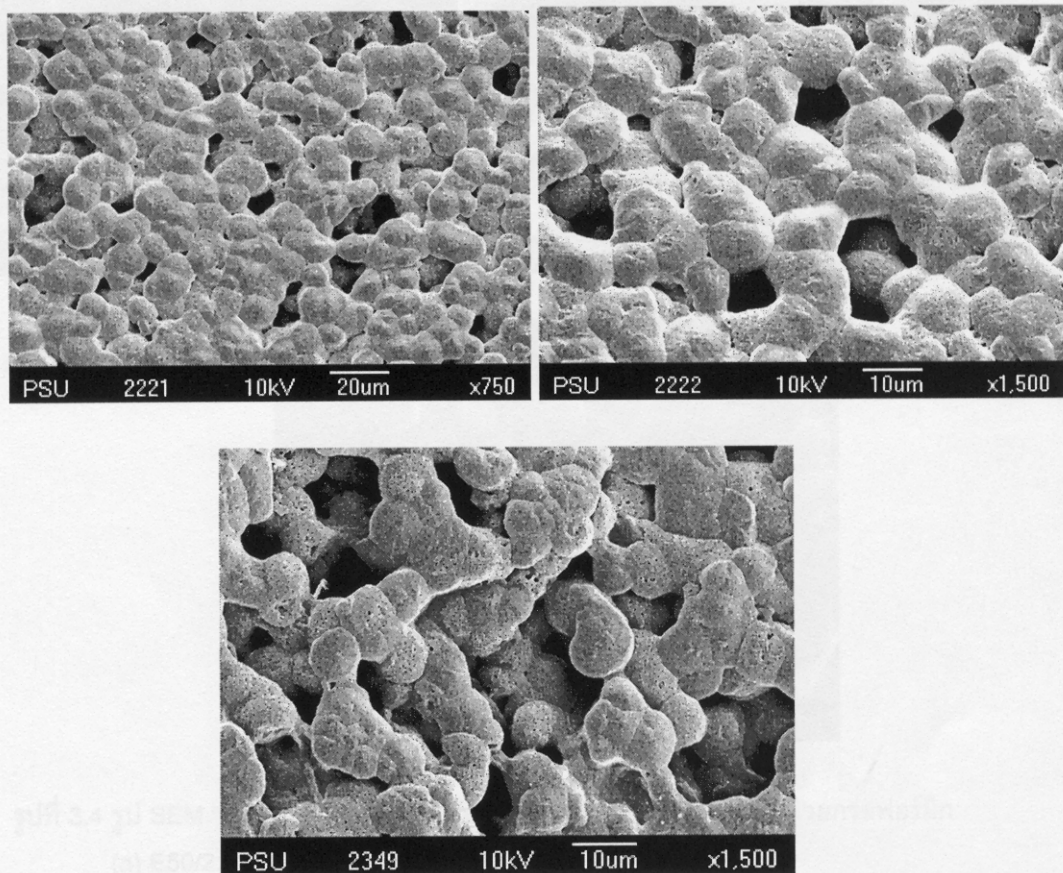


รูปที่ 3.2 รูป SEM ของเทอร์โมพลาสติกอิเล็กซ์โตเมอร์สูตร E50/5/t/350-1t (a) ผิวน้ำแข็งของชิ้นตัวอย่างที่ถูกหักหลังจากแช่ในในโตรเจนเหลว (freeze-fractured surface) (b) ผิวน้ำแข็งของชิ้นตัวอย่างที่ผ่านการทดสอบความทนต่อแรงดึง (tensile tested specimen)

สำหรับตัวอย่างในรูปที่ 3.3 – 3.5 เป็นตัวอย่างของเทอร์โมพลาสติกอิเล็กซ์โตเมอร์ที่ทำการสกัดเพลสของพลาสติกออกด้วยกรดฟอร์มิค ซึ่งเพลสของยางที่ไม่เกิดการละลายในกรดนี้ คืออนุภาคน้อยที่เกิดไนวิวัลคลาในเชซัน (dynamic vulcanization) กล้ายเป็นเม็ดเล็กๆติดกัน ดังนั้นจะเห็นตำแหน่งชั้นของเพลสของในลอนที่ถูกสกัดออกไป และเกิดลักษณะเป็นโพรง (cavitation) ซึ่งจากการตรวจสอบเอกสาร ลักษณะดังกล่าวได้สอดคล้องกับงานวิจัยของ Nakasan และคณะ (2005) โดยทำการเตรียมเทอร์โมพลาสติกวัลคลาในช์เซก (thermoplastic

vulcanizates, TPV) ระหว่างยางธรรมชาติอิพ็อกซี่ไดซ์และพอลิพรอพิลีน (PP) และใช้เปอร์ออกไซด์เป็นสารเชื่อมโยง ได้ทำการสกัดเฟลของ PP ออกด้วยไฮลิน ลักษณะทางสัณฐานวิทยาที่ได้ จะเห็นอนุภาคของยางที่เกิดไดนามิกวัลค่าไนเซชันเป็นเม็ดเล็กๆอยู่ในเฟลของ PP ที่ถูกสกัดออกไปแล้ว ทำให้เฟลของ PP มีลักษณะเป็นโพรง ซึ่งรูปร่างสัณฐานวิทยาดังกล่าวมีความสอดคล้องกับรูปที่ 3.3 – 3.5

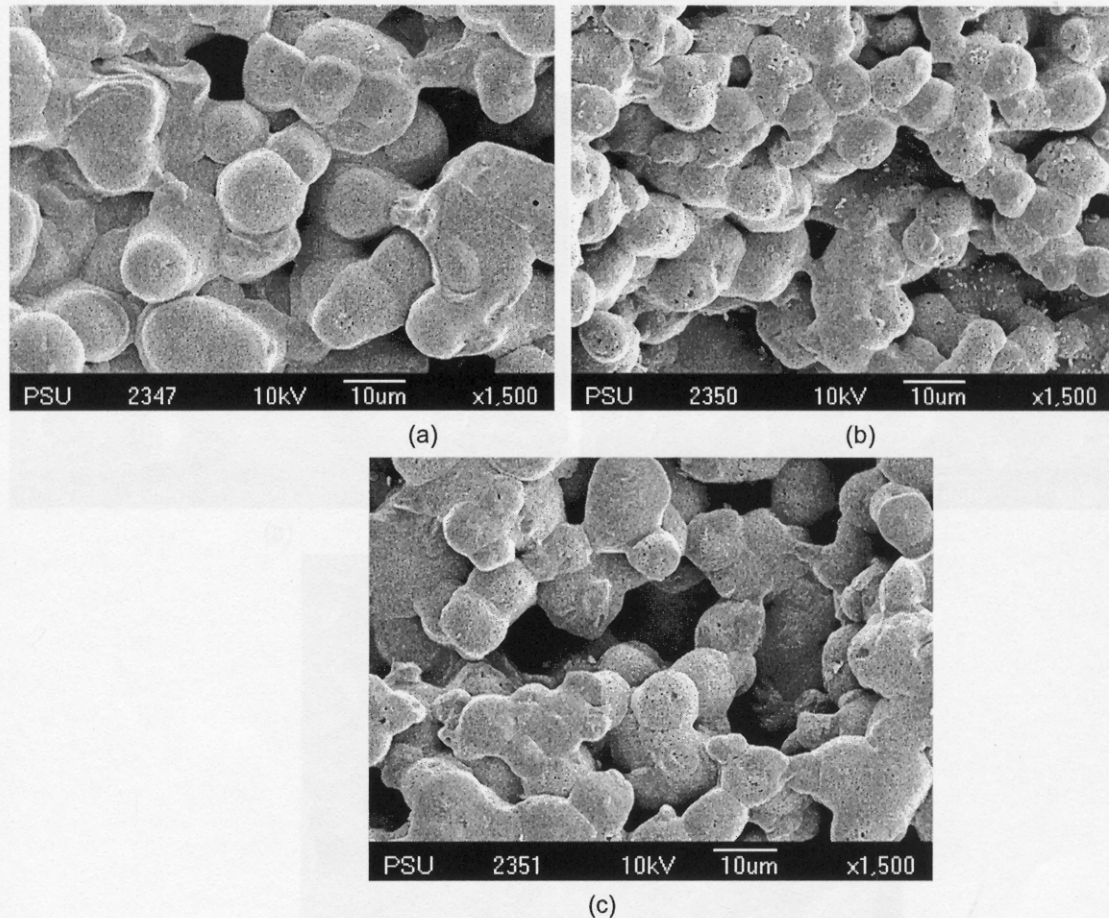
สำหรับรูปที่ 3.3 คือ ลักษณะสัณฐานวิทยาของเทอร์โมพลาสติกอิลิสโடเมอร์สูตร E50/5/t350-1t โดยมีกำลังขยายที่แตกต่างกัน จะเห็นได้ว่าเทอร์โมพลาสติกอิลิสโடเมอร์ที่ทำการไดนา mikวัลค่าไนเซชันด้วยระบบเปอร์ออกไซด์และมีสารร่วมการเชื่อมโยงชนิด SR350 อนุภาคของ ENR จะมีลักษณะเป็นเม็ดกระจายอยู่ในส่วนของในล่อนที่เป็นแม่ทริกซ์ แต่จากรูปร่างทางสัณฐานวิทยาของเทอร์โมพลาสติกอิลิสโटเมอร์ ขนาดของ ENR ที่ได้ยังมีขนาดใหญ่คือประมาณ $10 \mu\text{m}$ ซึ่งจากการทดสอบสมบัติความทนต่อแรงดึงของเทอร์โมพลาสติกอิลิสโಟเมอร์ สูตรนี้มีค่าความทนต่อแรงดึง 15.17 MPa และการยืด ณ จุดขาด 85% ซึ่งเห็นได้ว่าค่าความเครียด ณ จุดขาด ที่ได้ยังมีค่าน้อย ซึ่งอาจมีความสอดคล้องกับขนาดที่ค่อนข้องใหญ่ของเม็ดยาง



รูปที่ 3.3 รูป SEM ของเทอร์โมพลาสติกอิลิสโटเมอร์สูตร E50/5/t350-1t ที่สกัดเฟลของในล่อนด้วยกรดฟอร์มิก รูปถ่ายที่กำลังขยาย 750 เท่า และ 1500 เท่า

เมื่อเปลี่ยนชนิดของสารร่วมการเชื่อมโยงจาก SR350 เป็น SR75 แต่ยังใช้ DCP เป็นสารเชื่อมโยง ลักษณะสัณฐานวิทยาของเทอร์โมพลาสติกอิลิสโटเมอร์ก็ยังเห็นอนุภาคของ ENR กระจายเป็นเม็ดอยู่ในเฟลของในล่อนที่เป็นแม่ทริกซ์ดังแสดงดังรูปที่ 3.4 จากรูปที่ 3.4a เมื่อเติมปริมาณ SR75 เท่ากับ 1 phr อนุภาคของยาง ENR จะกระจายอยู่ในเฟลของในล่อนและขนาดอนุภาคยังมีขนาดใหญ่ แต่เมื่อเติมสารร่วมการเชื่อมโยงชนิด SR75 ปริมาณ 3 phr ดังแสดงในรูปที่ 3.4b อนุภาคของเม็ดยางมีขนาดเล็กลง ซึ่งสอดคล้องกับสมบัติความทนต่อแรงดึง

ซึ่งเมื่อปริมาณสารร่วมการเชื่อมโดยชินิด SR75 สมบัติความทนต่อแรงดึงมีค่าสูงขึ้น และเมื่อเพิ่มปริมาณสารเชื่อมโดยชินิด DCP จาก 2.5 phr เป็น 5 phr แต่ปริมาณสารร่วมการเชื่อมโดยชินิด SR75 คงที่คือ 3 phr ลักษณะสัณฐานวิทยาดังรูปที่ 3.4c เม็ดยางมีลักษณะใกล้เคียงกันแต่บางส่วนยังมีขนาดใหญ่กว่า ซึ่งสอดคล้องกับผลการทดสอบความทนต่อแรงดึง ที่มีค่าความทนต่อแรงดึงที่ใกล้เคียงกัน แต่มีค่าความเครียด ณ จุดขาด ของเทอร์โมพลาสติกอิเล็กโตร์ที่ใช้ DCP เท่ากับ 2.5 phr มีค่าที่ต่ำลง ลำดับขนาดอนุภาคเม็ดยางมีพิเศษทางดังนี้ E50/2.5/t75-3b < E50/5/t75-3b < E50/2.5/t75-1b เมื่อเปรียบเทียบกับสมบัติความทนต่อแรงดึง มีผลไปในพิเศษทางเดียวกัน คือ ค่า σ_b และ E_b ของเทอร์โมพลาสติกอิเล็กโตร์ทั้งสามสูตรนี้สามารถเรียงลำดับเหมือนกับลำดับขนาดของอนุภาคยางที่กล่าวมา (ดูตารางที่ 3.11)

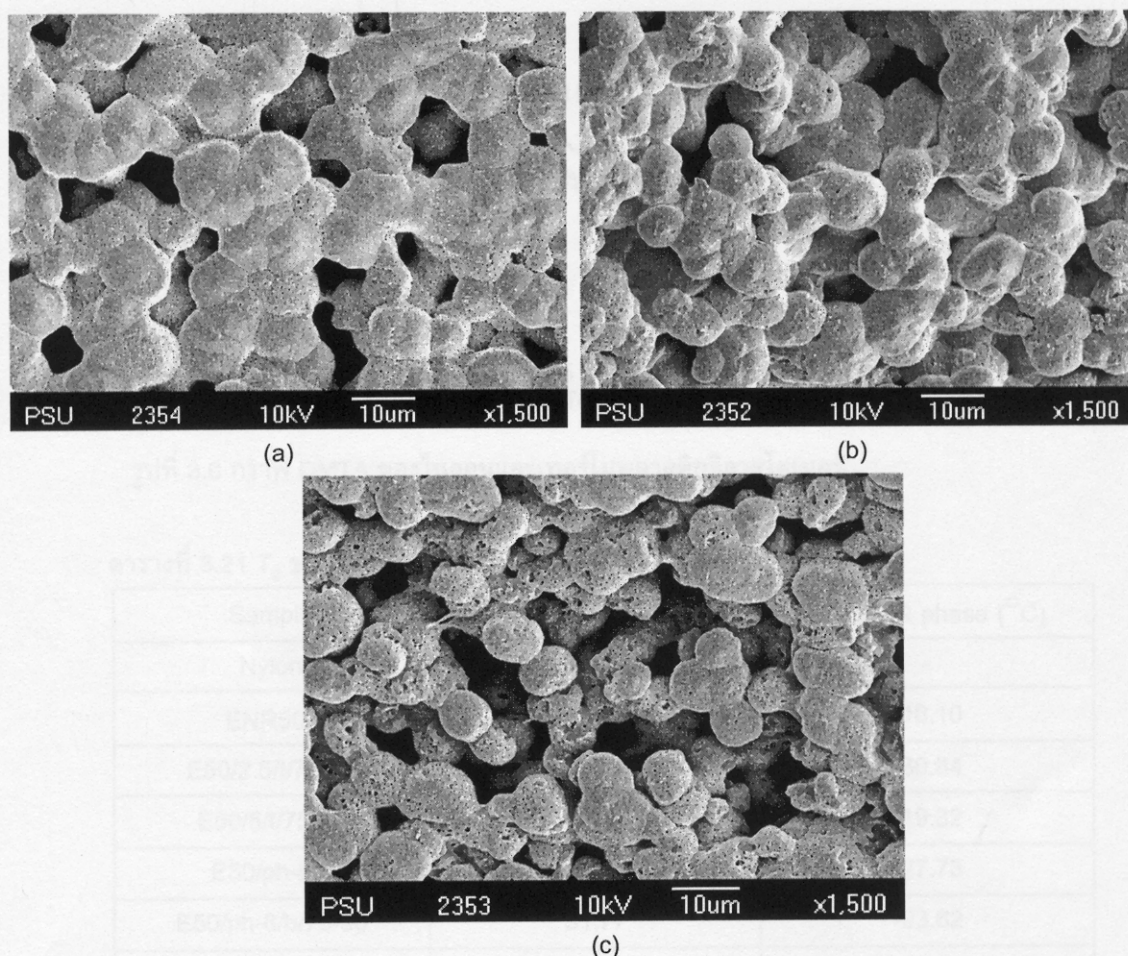


รูปที่ 3.4 รูป SEM ของเทอร์โมพลาสติกอิเล็กโตร์ที่สกัดเฟลสของไนлонด้วยกรดฟอร์มิก
(a) E50/2.5/t75-1b; (b) E50/2.5/t75-3b; (c) E50/5/t75-3b

เมื่อเปลี่ยนชนิดของสารเชื่อมโดยจาก DCP เป็นฟีโนลิกเรซิน ลักษณะสัณฐานวิทยาของเทอร์โมพลาสติกอิเล็กโตร์ที่ใช้ฟีโนลิกเรซินเป็นสารเชื่อมโดย แสดงในรูปที่ 3.5 จากรูปจะเห็นว่า เมื่อเปลี่ยนชนิดของสารเชื่อมโดยโดยใช้ฟีโนลิกเรซิน ขนาดของเม็ด ENR ที่กระหายอยู่ในเฟลสของไนلونมีขนาดเล็กลง ซึ่งรูปร่างสัณฐานวิทยาดังกล่าวสอดคล้องกับผลที่ได้จากการทดสอบสมบัติความทนต่อแรงดึงคือ เมื่อเปลี่ยนชนิดสารเชื่อมโดยจาก DCP เป็นฟีโนลิกเรซิน ค่าความทนต่อแรงดึงและค่าความเครียด ณ จุดขาด ของเทอร์โมพลาสติกอิเล็กโตร์ที่ใช้ฟีโนลิกเรซินมีค่าที่สูงกว่าเทอร์โมพลาสติกอิเล็กโตร์ที่ใช้ DCP จากรูปที่ 3.5a และ 3.5b เมื่อเดินสารร่วมการเชื่อมโดยชินิด SR75 ปริมาณ 3 phr โดยใช้ฟีโนลิกเรซิน ปริมาณ 8 phr เม็ดยางมีขนาดเล็กกว่าการตัวอย่างที่ไม่เติม SR75 สอดคล้องกับผลการทดสอบสมบัติความทนต่อแรงดึงของเทอร์โมพลาสติกอิเล็กโตร์ที่ใช้สารร่วมการ

เชื่อมโยงชนิด SR75 ที่มีแนวโน้มที่สูงกว่า และเมื่อเพิ่มปริมาณ ENR เป็น 60 phr โดยยังคงปริมาณสารเชื่อมโยงและสารร่วมการเชื่อมโยงเท่ากับ 8 และ 3 phr ตามลำดับ ขนาดของเม็ดยาง ENR50 มีขนาดที่เล็กลงและกระจายตัวเป็นเม็ดเล็กๆอยู่ในเฟลซของไนลอนที่เป็นแมทริกซ์

ดังนั้น สารร่วมการเชื่อมโยงมีผลต่อลักษณะสัณฐานวิทยาโดยทำให้ขนาดของเม็ด ENR มีขนาดที่เล็กลงเนื่องจากสารร่วมการเชื่อมโยงมีประสิทธิภาพดีกว่าเม็ด ENR โดยสารร่วมการเชื่อมโยงมีหน้าที่เป็นตัวช่วยให้สารเชื่อมโยงทำงานมีประสิทธิภาพได้ดีขึ้น ภาพถ่าย SEM แสดงให้เห็นว่าการผสมยางและไนลอนด้วยเครื่องอัดรีดแบบสกรูคู่ตามที่ได้กำหนดนี้ สามารถทำให้เกิดไนลามิกส์วัลค่าไนเซ็นได้ทั้งในกรณีที่มียาง 50 และ 60 phr โดยที่มีการเดินสารเชื่อมโยงก่อนการผสมพอลิเมอร์ในเครื่องอัดรีดดังกล่าว ดังนั้นจึงสรุปได้ว่า โครงการวิจัยนี้ประสบความสำเร็จในการเตรียมเทอร์โมพลาสติกอิเล็กโตรเมอร์ โดยมียางธรรมชาติอิพอกซีไดซ์เป็นเฟสกระจายและไนลอนเป็นเฟสต่อเนื่องหรือแมทริกซ์



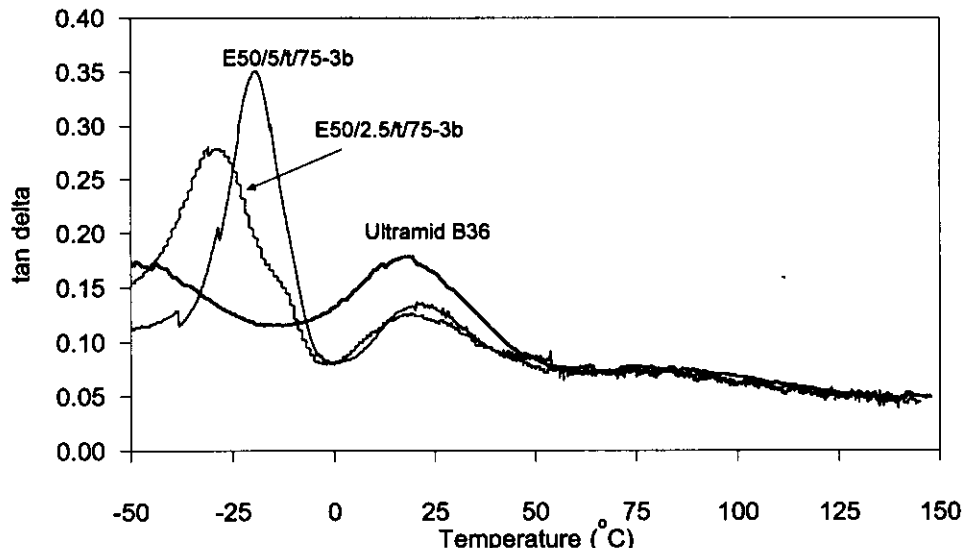
รูปที่ 3.5 รูป SEM ของเทอร์โมพลาสติกอิเล็กโตรเมอร์ที่สกัดเฟลซของไนลอนด้วยกรดฟอร์มิก

(a) E50/Ph-8/b; (b) E50/Ph-8/b/75-3b; (c) E60/Ph-8/b/75-3b

3.5.2 ผลการวิเคราะห์ด้วยเครื่อง DMTA

การวิเคราะห์ด้วยเครื่อง DMTA ในเทอร์โมพลาสติกอิเล็กโตรเมอร์ เป็นการวิเคราะห์ความเข้ากันได้ของพอลิเมอร์ 2 ชนิด โดยพิจารณาอุณหภูมิกลางแทรกซึชัน (glass transition temperature, T_g) (Szabo และคณะ, 2004) ถ้ามีการแสดงแทรกซึชันสองตำแหน่งของพอลิเมอร์แต่ละชนิด แสดงว่ามีการแยกเฟสระหว่างพอลิเมอร์ทั้งสองกราฟแสดงค่าแทนเจนต์สูญเสีย (loss tangent) หรือ $\tan \delta$ ของไนลอน UltramideTM B36 และเทอร์โมพลาสติกอิ-

ถ้าสโตเมอร์สูตร E50/2.5/t/75-3b และ E50/5/t/75-3b แสดงในรูปที่ 3.6 ในตอนแรก α transition (T_g) และ β transition (sub-transition, $< 0^\circ\text{C}$) ส่วนเทอร์โมพลาสติกอิเล็กโตร์ก็สองสอดแทรกซึ่งกันและกัน ธรรมชาติพอกซีไดร์ฟ สูตรที่มีเปอร์ออกไซด์มากกว่าจะมี T_g ของเฟสยางธรรมชาติพอกซีไดร์ฟสูงกว่า เนื่องจากมีปริมาณการเชื่อมโยงมากกว่า ส่วน T_g ของเฟสไนล่อนอยู่ในช่วงเดียวกันทั้งสองสูตรและมีแนวโน้มสูงกว่าไนล่อน บริสุทธิ์เล็กน้อย ค่า T_g ที่ได้จากการวิเคราะห์ด้วยเทคนิค DMTA แสดงในตารางที่ 3.21 ในส่วน Ultramide™ B36 มี T_g เท่ากับ 17.40°C ค่า T_g ของ ENR50 เท่ากับ -16.10°C (Tanrattanakul และคณะ 2002) เทอร์โมพลาสติกอิเล็กโตร์ทุกตัวที่นำมาทำการวิเคราะห์ แสดงแทรกซึ่งกันและกันอย่างชัดเจนและแสดงค่าไว้ในตารางที่ 3.21



รูปที่ 3.6 กราฟ DMTA ของไนล่อนและเทอร์โมพลาสติกอิเล็กโตร์

ตารางที่ 3.21 T_g ของเทอร์โมพลาสติกอิเล็กโตร์

Sample	T_g – nylon phase ($^\circ\text{C}$)	T_g – ENR phase ($^\circ\text{C}$)
Nylon	17.40	-
ENR50*	-	-16.10
E50/2.5/t/75-3b	19.27	-30.84
E50/5/t/75-3b	20.42	-19.32
E50/ph-8/b	28.96	-27.73
E50/ph-6/b/75-3b	31.77	-23.62
E50/ph-8/b/75-3b	21.06	-15.54
E50/ph-8/t/75-3b	24.58	-16.46
E60/ph-6/b/75-3b	28.96	-27.73
E60/ph-8/b/75-3b	31.77	-23.62
E60/ph-8/t/75-3b	21.06	-15.54

(* Tanrattanakul และคณะ 2002)

เป็นที่น่าสังเกตว่าค่า T_g ของเฟสในล่อนในเทอร์โมพลาสติกอิเล็กทรอนิคเมอร์มีค่าสูงขึ้น ทั้งนี้อาจเกิดจากสารเชื่อมโยงโมเลกุลเกิดอันตรรศริยา กับในล่อน แต่เป็นที่น่าแปลกใจว่า หากในล่อนเกิดการเชื่อมโยงโมเลกุลแล้ว เหตุใดจึงยังคงสามารถสกัดเอาในล่อนออกได้ด้วยกรดฟอร์มิก หรืออาจเป็นไปได้ว่ามีการเชื่อมโยงเพียงเล็กน้อยที่ไม่มีผลต่อการละลายด้วยกรดฟอร์มิก แต่มีผลต่อการเปลี่ยนแปลงของแทرنชิรัน ซึ่งหัวข้อนี้จะมีการศึกษาต่อไปในอนาคต ส่วนค่า T_g ของเฟสยาง ENR50 ในเทอร์โมพลาสติกอิเล็กทรอนิคเมอร์มีแนวโน้มต่ำลง ผลการทดลองนี้ชี้ให้เห็นว่าพอลิเมอร์ทั้งสองไม่เกิดอันตรรศริยาด้วยกัน และไม่มีลักษณะที่เรียกว่าเข้ากันได้บางส่วน (partially miscible blends) เนื่องจากค่า T_g ของทั้งสองเฟสแยกห่างจากกันมากขึ้นเมื่อนำมาผสานกัน แต่ผลการทดลองนี้ขัดแย้งกับภาพ SEM ที่ไม่แสดงการแยกเฟสในตัวอย่างที่ไม่มีการสกัดด้วยกรดฟอร์มิก (รูปที่ 3.2)